

## МЕТОД $R$ -ФУНКЦИЙ КАК УСИЛИТЕЛЬНЫЙ БЛОК ДЛЯ МЕТОДОВ РИТЦА И НАИМЕНЬШИХ КВАДРАТОВ

*Проведён сравнительный анализ решений двух модельных задач, полученных методами Ритца и наименьших квадратов с использованием метода  $R$ -функций. Вычислительные эксперименты выполнены в системе «ПОЛЕ».*

Хорошо известно, что применение классических вариационных методов на протяжении долгого времени сдерживалось отсутствием возможности построения в явном виде координатных функций, которые точно удовлетворяют заданным краевым условиям для областей сложной формы и обладают свойством полноты. Эта проблема казалась практически неразрешимой многим ученым [2]. В. Л. Рвачев при помощи конструктивного аппарата теории  $R$ -функций разработал единый подход к проблеме построения координатных последовательностей для основных вариационных и проекционных методов (методы Ритца, Галёркина, наименьших квадратов) [1, 3–6].

Решение краевой задачи обычно сводится к отысканию в области  $\Omega$  решения уравнений

$$Au = f \quad (1)$$

с краевыми условиями

$$L_i u|_{\partial\Omega_i} = \varphi_i, \quad i = 1, 2, \dots, m, \quad (2)$$

где  $\partial\Omega_1, \partial\Omega_2, \dots, \partial\Omega_m$  – покрытие границы  $\partial\Omega$  области  $\Omega$ .

В постановке краевой задачи присутствует два вида информации – аналитическая ( $A, L_i, f$  и  $\varphi$ ) и геометрическая ( $\Omega, \partial\Omega$  и  $\partial\Omega_i$ ).

В общем случае структура решения задачи (1), (2) – это формула вида

$$u = B(\omega, \omega_i, \Phi). \quad (3)$$

Здесь  $B$  – оператор, зависящий от формы границы  $\partial\Omega$  и её участков  $\partial\Omega_i$ , который строится так, что при любом выборе неопределённой функции  $\Phi$  формула (3) точно удовлетворяет тем или иным краевым условиям [3].

После того, как структура решения построена, возникает вопрос об отыскании неопределённых компонент. В случае применения вариационных методов каждая из неопределённых компонент представляется в виде

$$\Phi(x) = \sum_{i=1}^n C_i \psi_i(x),$$

где  $\{\psi_i\}$  – некоторая известная последовательность функций (в качестве  $\{\psi_i\}$  можно взять полиномы или сплайны); неопределённые постоянные  $C_i$  находятся по обычным схемам применения вариационных методов.

**Целью** работы является сравнительный анализ, проверка достоверности решений методами Ритца и наименьших квадратов и выработка методических указаний по использованию конструктивных средств *RFM*.

Рассмотрим следующие две модельные задачи:

1°) задача о ламинарном течении жидкости по каналу сложного поперечного сечения (рис. 1)

$$-\Delta u = 1, \quad u|_{\partial\Omega} = 0;$$

2°) задача об отыскании распределения электрического потенциала

$$\Delta u = 0, \quad u|_{\partial\Omega_1} = 1, \quad u|_{\partial\Omega_2} = -1, \quad \frac{\partial u}{\partial n}|_{\partial\Omega_3} = 0.$$

Область  $\Omega$  и участки её границы  $\partial\Omega_i$  изображены на рис. 2.

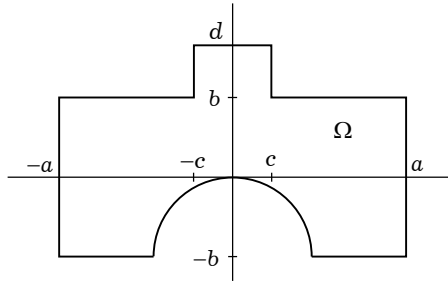


Рис.1

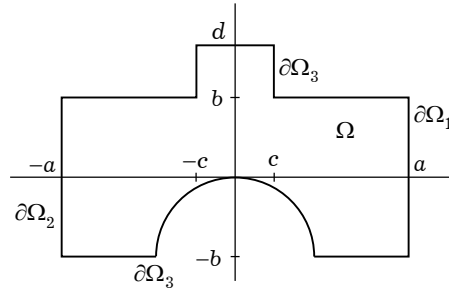


Рис.2

Для построения нормализованного уравнения границы области  $\Omega$  были использованы следующие примитивы:

$$\Sigma_1 = \left( f_1 \equiv \frac{a^2 - x^2}{2a} \geq 0 \right) - \text{вертикальная полоса между прямыми}$$

$$x = \pm a,$$

$$\Sigma_2 = (f_2 \equiv b - y \geq 0) - \text{полуплоскость под прямой } y = b,$$

$$\Sigma_3 = \left( f_3 \equiv \frac{c^2 - x^2}{2c} \geq 0 \right) - \text{вертикальная полоса между прямыми}$$

$$x = \pm c,$$

$$\Sigma_4 = \left( f_4 \equiv \frac{(b+y)(d-y)}{b+d} \geq 0 \right) - \text{горизонтальная полоса между прямыми}$$

$$y = -b \text{ и } y = d,$$

$$\Sigma_5 = \left( f_5 \equiv \frac{x^2 - (y+b)^2 - b^2}{2b} \geq 0 \right) - \text{внешность круга радиуса } b \text{ с центром в точке } (0, -b).$$

Предикатное уравнение области  $\Omega$  имеет вид

$$\Omega = ((\Sigma_1 \cap (\Sigma_2 \cup \Sigma_3)) \cap \Sigma_4) \cap \Sigma_5 = 1.$$

Перейдём от предикатного способа задания сложной области к аналитическому. При этом символы  $\cap$ ,  $\cup$ ,  $-$  заменяют символами какой-нибудь из достаточно полных систем  $R$ -функций [3, 4].

Уравнение границы сложной области  $\Omega$  выглядит следующим образом:

$$\omega = ((f_1 \wedge_* (f_2 \vee_* f_3)) \wedge_* f_4) \wedge_* f_5 = 0.$$

В качестве операций  $\vee_*$ ,  $\wedge_*$ ,  $-$  в дальнейшем будут использованы  $R$ -операции систем  $\{R_0\}$  и  $\{R_\rho\}$ :

$$\{R_0\} = \begin{cases} x \wedge_0 y \equiv x + y - \sqrt{x^2 + y^2}, \\ x \vee_0 y \equiv x + y + \sqrt{x^2 + y^2}, \\ \bar{x} \equiv -x, \end{cases}$$

$$\{R_\rho\} = \begin{cases} x \wedge_\rho y \equiv x + y - \sqrt{x^2 + y^2 + \frac{1}{8\rho^2} \psi(\psi + |\psi|)}, \\ x \vee_\rho y \equiv x + y + \sqrt{x^2 + y^2 + \frac{1}{8\rho^2} \psi(\psi + |\psi|)}, \\ \bar{x} \equiv -x. \end{cases}$$

Здесь  $\psi = \rho^2 - x^2 - y^2$ , а параметр  $\rho$  определяет радиус округления углов.

Картины линий уровня функции  $\omega$ , построенной с помощью  $\{R_0\}$  и  $\{R_\rho\}$ , приведены на рис. 3.

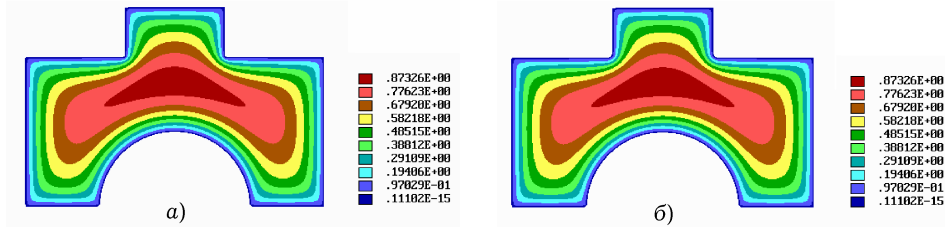


Рис. 3. Картины линий уровня функции  $\omega$ :  
а) с использованием  $\{R_0\}$ ; б) с использованием  $\{R_\rho\}$ .

Рассмотрим решение *задачи 1°*. Структура решения имеет вид  $u = \omega\Phi$ . При использовании  $R$ -операции  $\{R_0\}$  решения, полученные методами Рунца (МР) (рис. 4а) и наименьших квадратов (МНК) (рис. 4б), существенно отличаются (количественно и качественно). Видно влияние входящих углов при вычислении второй производной для МНК. На рис. 4в и рис. 4г представлено решение задачи с применением на входящих углах  $R$ -операции  $\{R_\rho\}$  ( $\rho = 0.2$ ) и МР и МНК. Обратим внимание, что решения, полученные методом Рунца с использованием  $\{R_0\}$  и  $\{R_\rho\}$ , отличаются на 0.87%, отличие решения по методу наименьших квадратов (рис. 4г) от решения по методу Рунца с использованием  $\{R_0\}$  (рис. 4а) составляет 1%, а отличие решения по методу наименьших квадратов (рис. 4г) от решения по методу Рунца с использованием  $\{R_\rho\}$  (рис. 4в) составляет 2%.

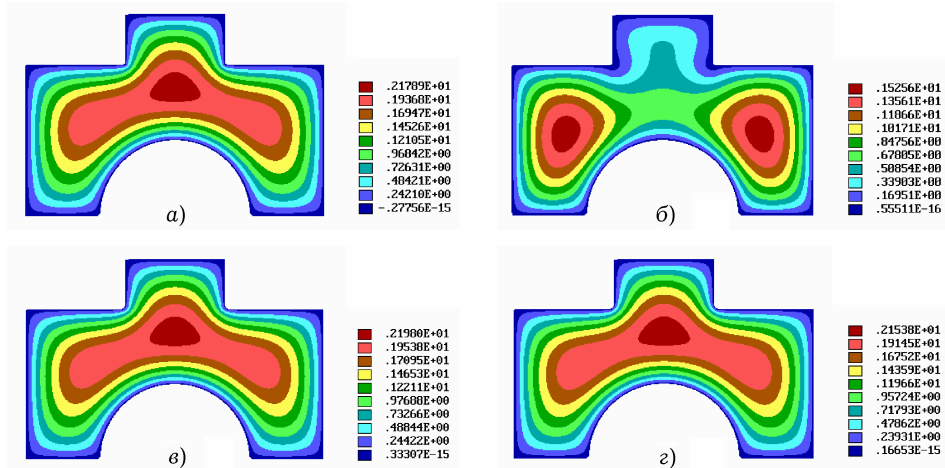


Рис. 4. Распределение поля скоростей в задаче *1°*: а) метод Рунца с использованием на входящих углах операции  $\{R_0\}$ ; б) метод наименьших квадратов с  $\{R_0\}$ ; в) метод Рунца с  $\{R_\rho\}$ ; г) метод наименьших квадратов с  $\{R_\rho\}$ .

Рассмотрим решение *задачи 2°*. Вычислительный эксперимент проводился с использованием следующих трёх структур решения:

$$u = \omega_d P_1 + \varphi_d, \quad (4)$$

$$\varphi_d = \frac{\omega_2 - \omega_1}{\omega_1 + \omega_2}, \quad \omega_1 = a - x, \quad \omega_2 = a + x, \quad \omega_d = f_1,$$

$$u = \omega_d P_1 + \frac{\omega_d \omega_n}{\omega_d + \omega_n} \left[ -D_1^{(n)}(\omega_n P_1) - D_1^{(n)}(\varphi_d) \right] + \varphi_d, \quad (5)$$

$$\omega_n = ((f_2 \vee_* f_3) \wedge_* f_4) \wedge_* f_5,$$

$$u = \frac{u_d \omega_n^2 + u_n \omega_d}{\omega_n^2 + \omega_d},$$

$$u_d = \omega_d P_1 + \varphi_d, \quad u_n = P_2 - \omega_n D_1^{(n)} P_2. \quad (6)$$

Структура (4) используется при удовлетворении только главным граничным условиям, структуры (5) и (6) учитывают все граничные условия. При этом обратим внимание, что в структуре (5) использована одна неопределённая компонента, а в (6) – две.

При использовании структуры (4) отыскание неопределённых компонент возможно лишь методом Ритца, т.к. для применения метода наименьших квадратов необходимо удовлетворение всем граничным условиям. Решения представлены на рис. 5. Результаты совпадают как в случае с применением операций  $\{R_0\}$ , так и с  $\{R_\rho\}$ .

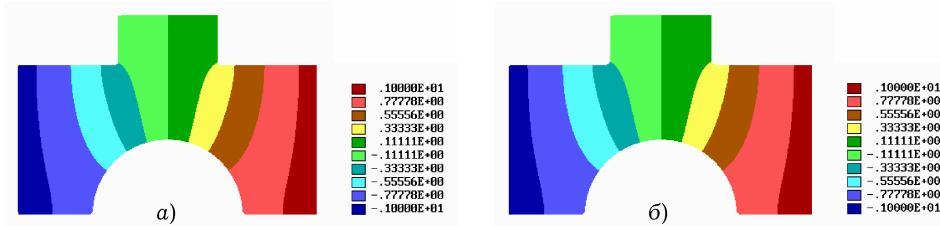


Рис. 5. Линии уровня распределения электрического потенциала для структуры (4): а) метод Ритца с  $\{R_0\}$ ; б) метод Ритца с  $\{R_\rho\}$ .

При использовании структуры (5) и  $R$ -операции  $\{R_0\}$  решения задачи методами Ритца и наименьших квадратов значительно отличаются (рис. 6а и рис. 6б). Это хорошо видно на рис. 7 (кривые 1 и 2).

Рассмотрим, как изменятся решения с применением на входящих углах  $R$ -операции  $\{R_\rho\}$ . Проведём сравнительный анализ графиков решений в сечении  $y = 2$ . На рис. 7 (кривая 3) видно, как изменилось решение МНК (рис. 6з) в сечении  $y = 2$ . Решение МР (рис. 6в) не изменилось. Решение МНК (рис. 6з) отличается от решения МР на 1.5%.

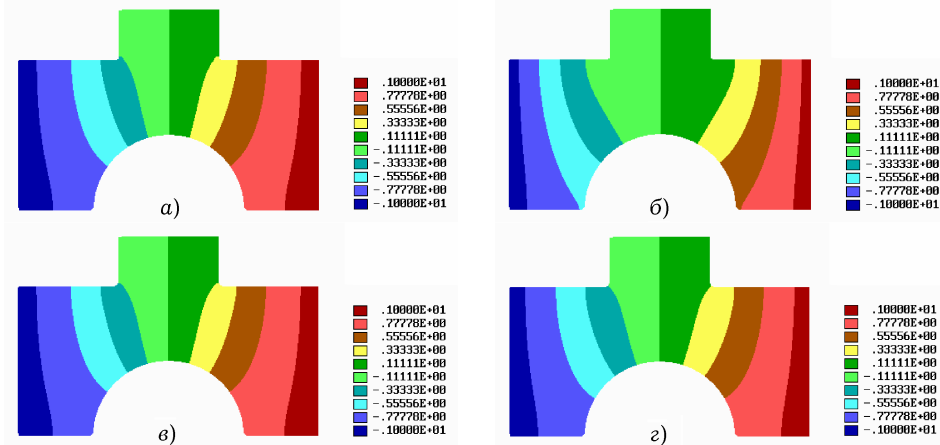


Рис. 6. Распределение электрического потенциала для структуры (5): а) метод Ритца с  $\{R_0\}$ ; б) метод наименьших квадратов с  $\{R_0\}$ ; в) метод Ритца с  $\{R_\rho\}$ ; г) метод наименьших квадратов с  $\{R_\rho\}$ .

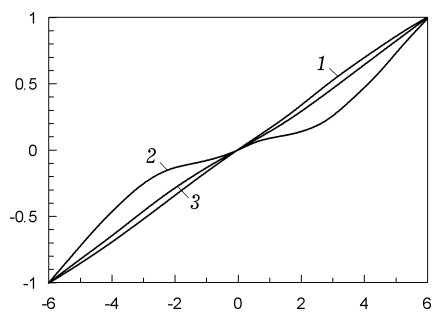


Рис. 7. Распределение электрического потенциала в сечении  $y = 2$  :

кривая 1 – решение методом Ритца; 2 – решение методом наименьших квадратов с использованием  $\{R_0\}$ ; 3 – решение методом наименьших квадратов с использованием  $\{R_p\}$ .

При использовании структуры (6) и  $R$ -операции  $\{R_0\}$  решения методом Ритца и методом наименьших квадратов также отличаются (рис. 8а и рис. 8б). Применим на входящих углах  $R$ -операции  $\{R_p\}$ . Решение МР (рис. 8в) не изменилось. На рис. 8г представлено решение МНК, которое совпадает с решением по МР с точностью до 0.5 %.

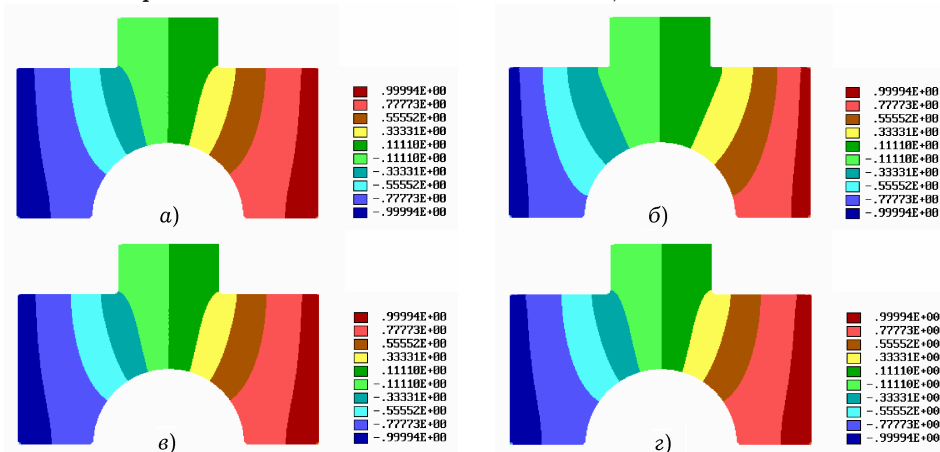


Рис. 8. Распределение электрического потенциала для структуры (6):

- а) метод Ритца с  $\{R_0\}$  ; б) метод наименьших квадратов с  $\{R_0\}$  ;
- в) метод Ритца с  $\{R_p\}$  ; г) метод наименьших квадратов с  $\{R_p\}$  .

Представление решения в аналитическом виде позволяет получать дифференциальные характеристики. На рис. 9а приведены эквипотенциальные линии (поверхности), на рис. 9б – линии тока.

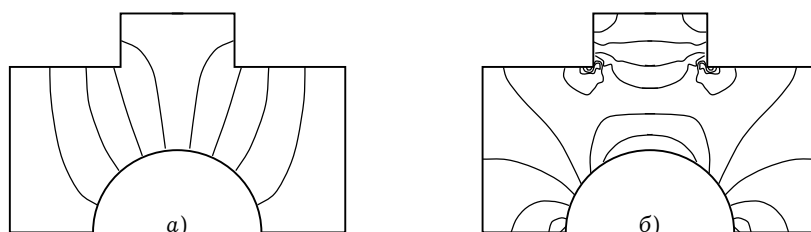


Рис. 9. а) эквипотенциальные линии; б) линии тока.

**Заключение.** На примере решения двух модельных задач показано, что в ряде случаев стандартных конструктивных средств теории  $R$ -функций, предоставляемых пользователю системой «ПОЛЕ», недостаточно.

При использовании  $R$ -операций  $\{R_0\}$  для построения нормализованного уравнения границы области, имеющей входящие углы, решения задач методами Ритца и наименьших квадратов отличаются (в некоторых случаях существенно).

Сравнительный анализ применения  $R$ -операций  $\{R_0\}$  и  $\{R_p\}$  показал, что для получения достоверного решения методом наименьших квадратов необходимо применение  $R$ -операций  $\{R_p\}$ . Решение методом Ритца при использовании  $R$ -операций  $\{R_p\}$  не изменяется.

1. Максименко-Шейко К. В., Шейко Т. И. Математическое и компьютерное моделирование движения несжимаемой вязкой жидкости по цилиндрическим трубам с пристеночными винтовыми вставками методом  $R$ -функций // *Мат. методы та фіз.-мех. поля.* – 2005. – **48**, № 1. – С. 163–169.
2. Ортега Дж., Рейнболдт В. Итерационные методы решения нелинейных систем уравнений со многими неизвестными. – Москва: Мир, 1975. – 558 с.
3. Рвачев В. Л. Теория  $R$ -функций и некоторые её приложения. – Киев: Наук. думка, 1982. – 552 с.
4. Rvachev V. L., Sheyko T. I.  $R$ -functions in boundary-value problems in mechanics // *Appl. Mech. Rev.* – 1995. – 48, No. 4. – P. 151–188.
5. Rvachev V. L., Sheyko T. I., Shapiro V. The  $R$ -function method in boundary-value problems with geometric and physical symmetry // *J. Math. Sci.* – 1999. – **97**, No. 1. – P. 3888–3899.  
То же: Рвачев В. Л., Шейко Т. И., Шапиро В. Метод  $R$ -функций (RFM) в краевых задачах с геометрической и физической симметрией // *Мат. методы та фіз.-мех. поля.* – 1998. – **41**, № 1. – С. 146–159.
6. Rvachev V. L., Sheyko T. I., Shapiro V., Tsukanov I. On completeness of RFM-solution structure // *Computat. Mech.* – 2000. – **25**. – P. 305–316.

#### **МЕТОД $R$ -ФУНКЦІЙ ЯК ПІДСИЛЮВАЛЬНИЙ БЛОК ДЛЯ МЕТОДІВ РІТЦА ТА НАЙМЕНШИХ КВАДРАТІВ**

*Проведено порівняльний аналіз розв'язків двох модельних задач, отриманих методами Рітца та найменших квадратів з використанням методу  $R$ -функцій. Обчислювальні експерименти виконано в системі «ПОЛЕ».*

#### **$R$ -FUNCTIONS METHOD AS SUPPORTIVE EXTENSION FOR RITZ METHOD AND LEAST SQUARES METHOD**

*The comparative analysis of solutions for two model problems, obtained by Ritz method and least squares method, is carried out with use of the  $R$ -functions method. Calculating experiments are processed in the system «POLYE».*

Ин-т проблем машиностроения  
им. А. Н. Подгорного НАН Украины, Харьков

Получено  
08.05.08